



Costruttore		N° test	EAPR-GS-7385/11
		Data del test	02.02-13.02.2011
Modello	BION 36	Luogo	Schruns /Walensee



EAPR e.V - Marktstr. 11 - D-87730 Bad Grönenbach - Germany

	Peso minimo al decollo		Peso massimo al decollo	
Test pilot	Tschofen Johannes		Anselm Rauh	Anselm Rauh
Selletta	Academy TestEquipment		EAPR Testequipment	
Peso totale al decollo	115 kg		230 kg	

Classificazione	B
------------------------	----------



Criteria del test	Peso minimo al decollo	Valutazione	Peso massimo al decollo	Valutazione			
1. Gonfiaggio/decollo - 4.1.1							
Comportamento nel gonfiaggio	Gonfiaggio dolce, facile e progressivo	A	Gonfiaggio dolce, facile e progressivo	A			
Tecnica specifica richiesta per il decollo	No	A	No	A			
2. Atterraggio - 4.1.2							
Tecnica specifica richiesta per l'atterraggio	No	A	No	A			
3. Velocità nel volo rettilineo - 4.1.3							
Velocità di trim superiore a 30 km/h	Si	A	Si	A			
Velocità a freni completamente abbassati superiore a 10 km/h	Si	A	Si	A			
Velocità minima	inferiore a 25 km/h	A	compreso fra 25km/h e 30 km/h	B			
4. Controllo del punto di stallo dichiarato dal costruttore - 4.1.4							
Peso massimo in volo fino a 80 kg		-		-			
Peso massimo in volo da 80 kg a 100 kg		-		-			
Peso massimo in volo superiore a 100 kg	Crescente >65 cm	A	Crescente >65 cm	A			
5. Stabilità sull'asse di beccheggio in uscita dal volo accelerato - 4.1.5							
Angolo di picchiata in uscita	Picchiata inferiore a 30°	A	Picchiata inferiore a 30°	A			
Consequente chiusura	No	A	No	A			
6. Stabilità sull'asse di beccheggio agendo sui comandi nel volo accelerato - 4.1.6							
Consequente chiusura	No	A	No	A			
7. Stabilità sull'asse di rollio e smorzamento - 4.1.7							
Oscillazioni	Si autostabilizza	A	Si autostabilizza	A			
8. Stabilità in spirale neutra - 4.1.8							
Tendenza a riprendere il normale assetto di volo	Uscita spontanea	A	Uscita spontanea	A			
9. Comportamento durante una brusca inversione di 360° - 4.1.9							
Tasso di caduta dopo due virate	fino a 12 m/s	A	superiore a 14 m/s	B			
10. Chiusura frontale simmetrica - 4.1.10							
Ingresso	a velocità di trim	Arretra meno di 45°	A	Arretra meno di 45°	A		
Uscita		Spontaneo in meno di 3 sec.	A	Spontaneo in meno di 3 sec.	A		
Angolo di picchiata in uscita		0° - 30°	Mantiene la traiettoria di volo	A	0° - 30°	Mantiene la traiettoria di volo	A
Consequente cascata di configurazioni		No	A	No	A		
Ingresso	accelerato	Arretra meno di 45°	A	Arretra meno di 45°	A		
Uscita		Spontaneo in meno di 3 sec.	A	Spontaneo in meno di 3 sec.	A		
Angolo di picchiata in uscita		0° - 30°	Mantiene la traiettoria di volo	A	0° - 30°	Mantiene la traiettoria di volo	A
Consequente cascata di configurazioni		No	A	No	A		

11. Uscita dallo stallo paracadutale - 4.1.11									
Fase paracadutale raggiungibile	Si				Si				
Uscita	Spontaneo in meno di 3 sec.	A			Spontaneo in meno di 3 sec.	A			
Angolo di picchiata in uscita	0° - 30°	A			0° - 30°	A			
Cambio di direzione	Cambio di direzione inferiore a 45°	A			Cambio di direzione inferiore a 45°	A			
Consequente cascata di configurazioni	No	A			No	A			
12. Uscita da uno stallo di B rilasciato molto lentamente - 4.1.12									
Uscita	Spontaneo in meno di 3 sec.	A			Spontaneo in meno di 3 sec.	A			
Consequente cascata di configurazioni	No	A			No	A			
13. Uscita da uno stallo simmetrico trattenuto (post stallo) - 4.1.13									
Angolo di picchiata in uscita	0° - 30°	A			30° - 60°	B			
Chiusura	Senza conseguente chiusura	A			Senza conseguente chiusura	A			
Consequente cascata di configurazioni	No	A			No	A			
Oscilla indietro	Inferiore a 45°	A			Inferiore a 45°	A			
Tensione delle linee	Tensione della maggior parte delle linee	A			Tensione della maggior parte delle linee	A			
14. Chiusura asimmetrica - 4.1.14									
Cambio di direzione prima della riapertura	Senza acceleratore, max. chiusura 50%	< 90°	Angolo di picchiata o di rollio compreso entro	0° - 15°	A	< 90°	Angolo di picchiata o di rollio compreso entro	15° - 45°	A
Comportamento nella riapertura		Riapertura spontanea	A	Riapertura spontanea	A				
Variazione totale della direzione		Inferiore a 360°	A	Inferiore a 360°	A				
Consequente chiusura della semiala opposta		No	A	No	A				
Consequente twist		No	A	No	A				
Consequente cascata di configurazioni	No	A	No	A					
Cambio di direzione prima della riapertura	Senza acceleratore, max. chiusura 75%	< 90°	Angolo di picchiata o di rollio compreso entro	15° - 45°	A	< 90°	Angolo di picchiata o di rollio compreso entro	15° - 45°	A
Comportamento nella riapertura		Riapertura spontanea	A	Riapertura spontanea	A				
Variazione totale della direzione		Inferiore a 360°	A	Inferiore a 360°	A				
Consequente chiusura della semiala opposta		No	A	No	A				
Consequente twist		No	A	No	A				
Consequente cascata di configurazioni	No	A	No	A					
Cambio di direzione prima della riapertura	Con acceleratore, max. chiusura 50%	< 90°	Angolo di picchiata o di rollio compreso entro	0° - 15°	A	< 90°	Angolo di picchiata o di rollio compreso entro	15° - 45°	A
Comportamento nella riapertura		Riapertura spontanea	A	Riapertura spontanea	A				
Variazione totale della direzione		Inferiore a 360°	A	Inferiore a 360°	A				
Consequente chiusura della semiala opposta		No	A	No	A				
Consequente twist		No	A	No	A				
Consequente cascata di configurazioni	No	A	No	A					
Cambio di direzione prima della riapertura	Con acceleratore, max. chiusura 75%	< 90°	Angolo di picchiata o di rollio compreso entro	15° - 45°	A	90° - 180°	Angolo di picchiata o di rollio compreso entro	15° - 45°	B
Comportamento nella riapertura		Riapertura spontanea	A	Riapertura spontanea	A				
Variazione totale della direzione		Inferiore a 360°	A	Inferiore a 360°	A				
Consequente chiusura della semiala opposta		No	A	No	A				
Consequente twist		No	A	No	A				
Consequente cascata di configurazioni	No	A	No	A					
15. Cambio di direzione in seguito a una chiusura asimmetrica trattenuta - 4.1.15									
Capacità a mantenere il volo rettilineo	Si	A			Si	A			
Rotazione di 180° in 10 sec. dalla parte opposta alla chiusura	Si	A			Si	A			
Differenza di trazione del comando fra la virata, lo stallo e la vite piatta negativa	Trazione simmetrica dei freni superiore al 50%	A			Trazione simmetrica dei freni superiore al 50%	A			
16. Tendenza al negativo a velocità di trim - 4.1.16									
Consequente vite piatta negativa	No	A			No	A			
17. Tendenza al negativo alle basse velocità - 4.1.17									
Consequente vite piatta negativa	No	A			No	A			
18. Uscita da una vite piatta negativa - 4.1.18									
Angolo di rotazione in vite piatta negativa dopo il rilascio del comando	Esce dalla spirale in meno di 90°	A			Esce dalla spirale in meno di 90°	A			
Consequente cascata di configurazioni	No	A			No	A			
19. Stallo di B - 4.1.19									
Cambiamento di direzione dopo il rilascio	Cambio di direzione inferiore a 45°	A			Cambio di direzione inferiore a 45°	A			
Comportamento prima del rilascio	Mantiene la stabilità senza alcuna deformazione del profilo	A			Mantiene la stabilità senza alcuna deformazione del profilo	A			
Uscita	Spontaneo in meno di 3 sec.	A			Spontaneo in meno di 3 sec.	A			
Angolo di picchiata in uscita	0° - 30°	A			0° - 30°	A			
Consequente cascata di configurazioni	No	A			No	A			
20. Grandi orecchie - 4.1.20									
Procedura d'ingresso	Sistemi di controllo dedicati	A			Tecnica standard	A			
Comportamento durante le grandi orecchie	Volo stabile	A			Volo stabile	A			
Uscita	Spontaneo in meno di 3 sec.	A			Spontaneo in meno di 3 sec.	A			
Angolo di picchiata in uscita	0° - 30°	A			0° bis 30°	A			
21. Grandi orecchie con acceleratore - 4.1.21									
Procedura d'ingresso	Sistemi di controllo dedicati	A			Tecnica standard	A			
Comportamento durante le grandi orecchie	Volo stabile	A			Volo stabile	A			
Uscita	Spontaneo in meno di 3 sec.	A			Spontaneo in meno di 3 sec.	A			
Angolo di picchiata in uscita	0° - 30°	A			0° bis 30°	A			
Comportamento durante le grandi orecchie trattenute dopo il rilascio dell'acceleratore	Volo stabile	A			Volo stabile	A			

22. Comportamento in uscita da una spirale stretta - 4.1.22				
Tendenza a riprendere il normale assetto di volo	Uscita spontanea	A	Uscita spontanea	A
Angolo di rotazione per ritrovare il normale assetto di volo	Inferiore a 720°, uscita spontanea	A	Inferiore a 720°, uscita spontanea	A
23. Tecniche alternative di pilotaggio - 4.1.23				
Virata di 180° possibile in 20 sec.	Si	A	Si	A
Conseguente vite piatta negativa o stallo	No	A	No	A
24. Altre procedure e/o configurazioni di volo descritte nel manuale d'uso - 4.1.24				
Esecuzione corretta della manovra / manuale		NA		NA
Manovra adatta per i piloti principianti		NA		NA
Conseguente cascata di configurazioni		NA		NA
25. Osservazioni del test pilot				
	* Beim Manöver "Verhalten in Steilen Kurven" konnte nur eine Sinkgeschwindigkeit von 7m/s erreicht werden.		Schirm zieht ab ca. 8m/s Sinken zügig weiter in die Spirale, leitet aber dann selbständig nach 720° aus!	
			B-Stall kann aufgrund der hohen Last nur mit Hilfe des Passagiers eingeleitet werden	
Copyright Ralf Antz 2010		Il rapporto del test di certificazione viene generato automaticamente e non necessita di alcuna firma		